

# 2025 동계 세미나

Reconstruction-based Anomaly Detection

---



*Sogang University*  
*Vision & Display Systems Lab, Dept. of Electronic Engineering*



*Presented By*  
김예슬

# Contents

- Background
  - Anomaly detection (AD)
  - Supervised and Unsupervised approaches
  - Reconstruction-based Anomaly Detection
  - CutPaste paper review
- Zavrtanik, et al. "Draem-a discriminatively trained reconstruction embedding for surface anomaly detection." *Proceedings of the IEEE/CVF international conference on computer vision*. 2021.
  - Introduction
  - Method
  - Experiments
  - Conclusions

# Background

- Anomaly Detection (AD)
  - Binary classification problem

- Input 이미지의 anomaly 포함 여부를 판단하는 문제

↳ 일반적으로 Abnormal 샘플은 normal 샘플 수 대비 소수이기 때문에 적절한 distribution을 학습하기 어려움

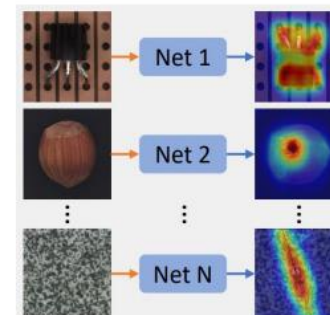
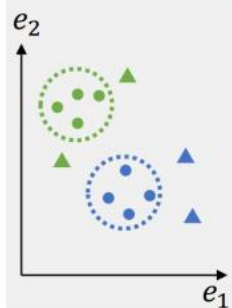
↳ 따라서, normal 샘플만을 활용하여 해당 클래스의 특징적 distribution를 학습하는 one-class classification 방식이 주로 사용됨

- 여러 개의 object나 class를 다루는 상황에서는 각 클래스별로 normal 데이터를 별도로 학습하여 개별적인 decision boundary를 형성하는 one-class-one-model 접근법이 주를 이룸

↳ 즉, 각 클래스당 하나의 모델을 통해 normal distribution를 학습하고, 새로운 입력이 이 normal distribution에서 벗어나면 해당 입력을 anomaly로 판단하는 방식

- Normal
- ▲ Anomaly
- ..... Boundary

Class 1 Class 2



< One-class data distribution >

< One-class-one-model scheme >

# Background

- Anomaly Detection (AD)
  - 전체 이미지 (Image-level)
    - 정상 데이터와 분명한 차이를 전체적인 이미지 구성을 기준으로 이상치를 판단함  
↳ 예시: 이미지 전체의 색상, 모양 등이 명확히 다른 경우
  - 영역 (Pixel-level) – Anomaly segmentation
    - 정상 데이터와의 미세한 차이를 픽셀 단위의 세부적인 변화를 기준으로 이상치를 판단함  
↳ 예시: 이미지 내부의 특정 영역에서 발생하는 작은 이상 신호



# Background

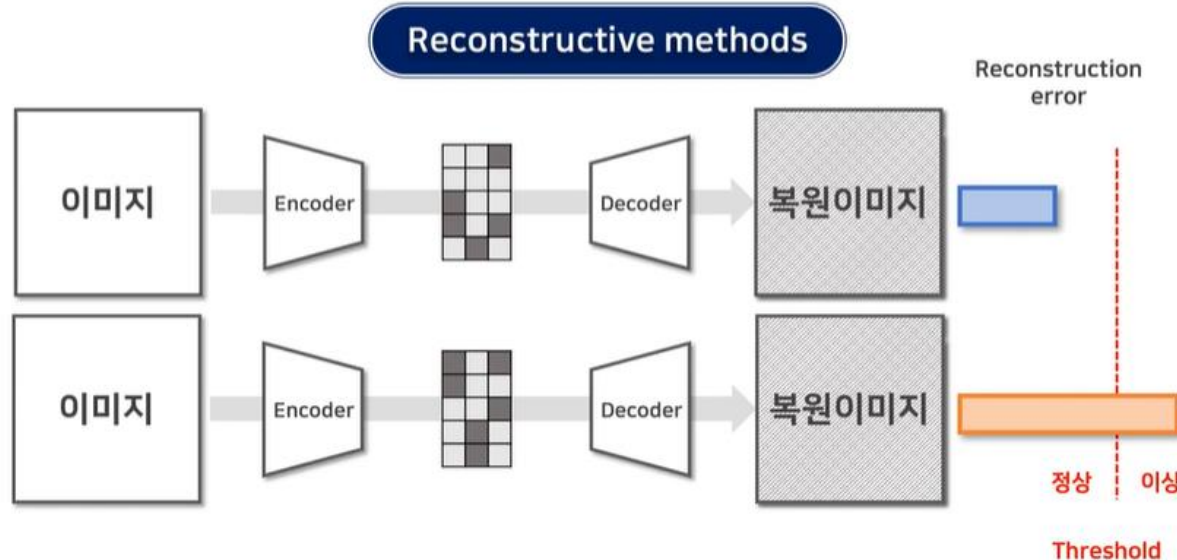
- Reconstruction-based Anomaly Detection

- Auto-encoders, GANs 등을 사용한 방법론들이 다수 존재함

- 정상(anomaly-free) 이미지만을 사용하여 reconstruction 하도록 network를 학습함

- Input 이미지와 reconstruction된 이미지 간의 차이를 threshold로 구분하여 anomaly detection을 수행함

- ↳ Reconstruction error가 threshold보다 작으면 정상으로, 크면 이상으로 구분함



# Background

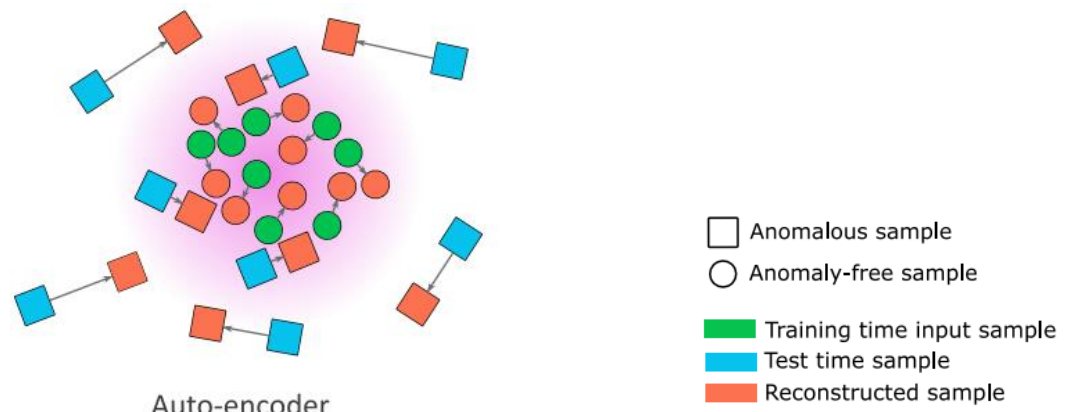
- Reconstructive methods의 한계

- 원인

- 정상 이미지와 차이가 크지 않은 이상치 이미지
    - 정상 이미지 (anomaly free) 데이터만을 사용하여 학습을 진행함

- 문제 발생 1: Over-generalize

- 모델이 특정 데이터를 지나치게 포괄적으로 처리하여, 정상 데이터와 이상 데이터를 제대로 구별하지 못하는 상황을 의미함
    - Autoencoder는 정상 데이터만으로 학습되기 때문에 이상 데이터도 정상 데이터처럼 잘 재구성해버려, 정상과 이상 간의 차이를 효과적으로 탐지하지 못하게 됨



# Background

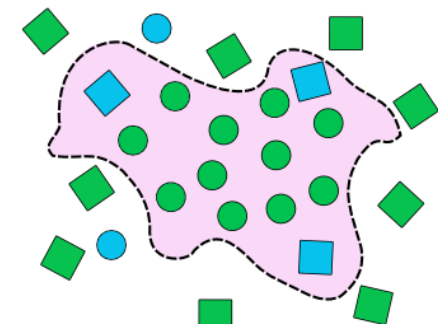
- Reconstructive methods의 한계

- 원인

- 정상 이미지와 차이가 크지 않은 이상치 이미지
    - 정상 이미지 (anomaly free) 데이터만을 사용하여 학습을 진행함

- 문제 발생 2: Over-fitting

- Discriminative network: 입력 데이터의 특징을 학습하여 정상 데이터와 이상 데이터를 명확히 구분하는 데 초점을 맞춘 네트워크
    - 실제로 이상 데이터가 부족하기 때문에, Discriminative network는 주로 합성 이상 데이터(Synthetic anomalies)를 사용하여 학습함
      - ▷ 합성 데이터는 실제 이상 데이터와 다를 수 있으며, 이로 인해 네트워크가 합성 데이터의 특정 특징에만 overfitting 될 가능성이 높음
      - ▷ 또한, 합성 이상 데이터는 데이터의 다양성이 낮을 수 있어, 네트워크가 다양한 실제 이상 데이터를 처리하는 데 실패할 수 있음
    - 결과적으로 모델이 실제 이상 데이터(real anomalies)에 대해 일반화 성능(generalization ability)을 상실하게 됨



Discriminative segmentation

# Background

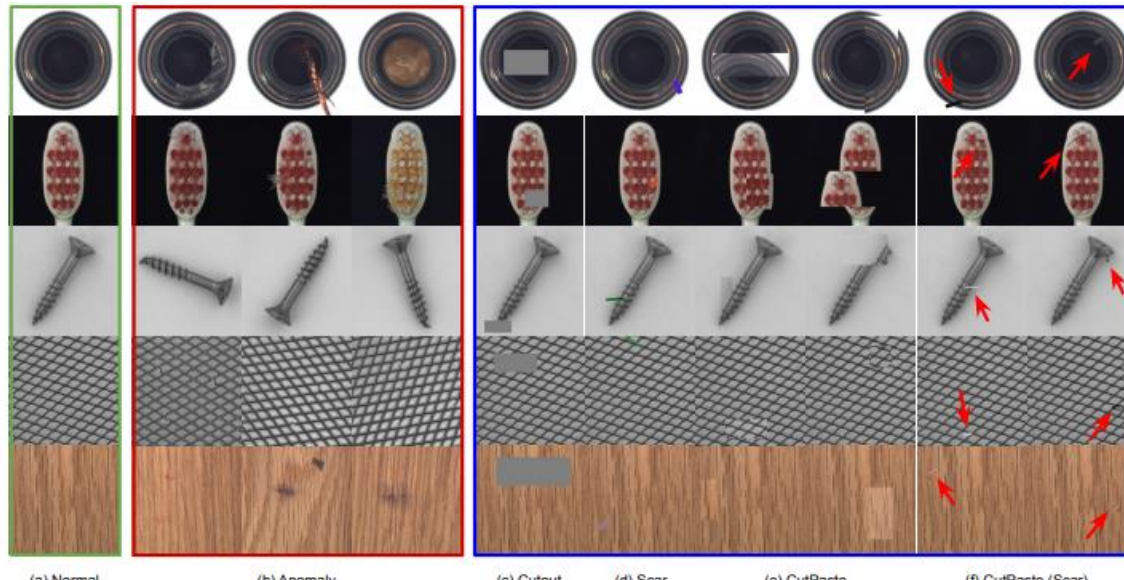
- CutPaste [1]

- Introduction

- 일반적인 Unsupervised AD는 정상 데이터만을 사용해 모델을 학습한 후, 새로운 이미지와의 feature를 비교하여 비정상 데이터를 탐지하는 방식임
    - 그러나 이러한 접근법에는 한계가 존재하며, 이를 보완하기 위해 CutPaste는 비정상 데이터를 인위적으로 생성하여 학습하는 방법을 제안함

- Data Augment Method

- 직사각형 크기의 patch를 정하여 자른(cut) 뒤에 무작위로 위치를 선정하여 붙여 넣는(paste) 방법
    - 추가로, 얇은 직사각형(scar) patch를 정하여 Cut and Paste 하는 방법도 함께 적용함



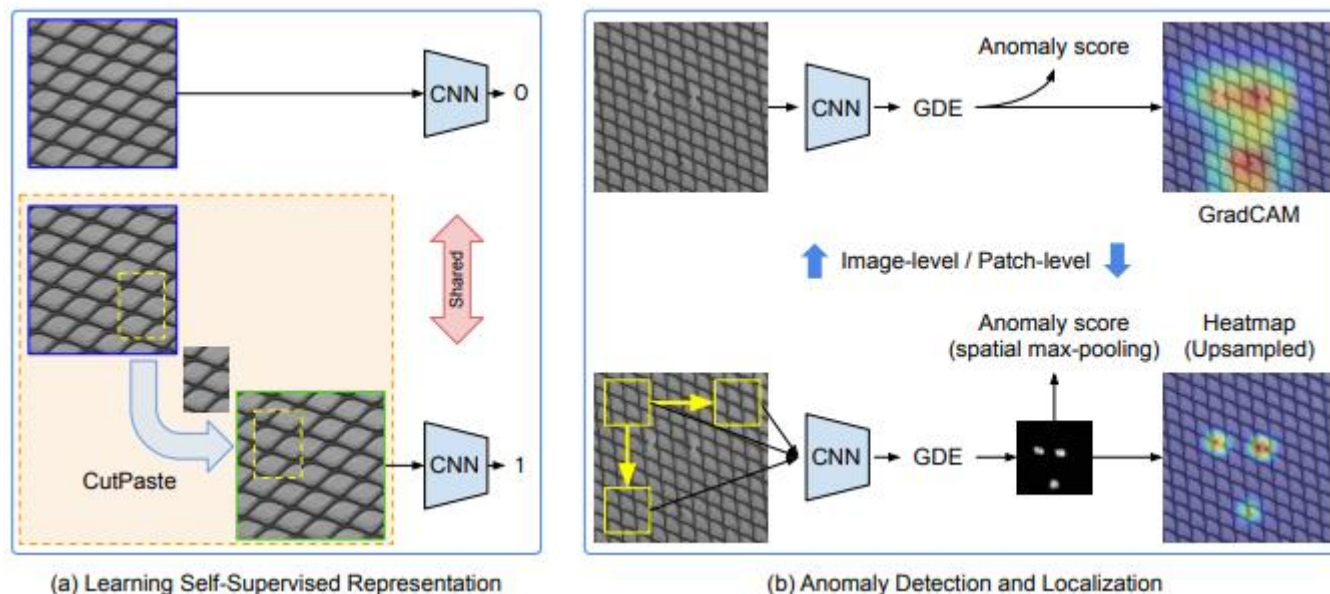
# Background

- CutPaste [1]

- Method

- Self-Supervised Learning (SSL)을 사용하여 정상 데이터의 feature를 학습하고, Gaussian Density Estimation (GDE)을 사용하여 정상 데이터의 분포를 기준으로 비정상 데이터를 탐지함

- (a) 단계: 원본 정상 이미지 (0), CutPaste (1), CutPaste-Scar (2)로 classification을 수행하여 학습함
  - (b) 단계: GDE 방법을 사용하여 정상 데이터의 분포를 학습함



# **DRÆM**

## **A discriminatively trained reconstruction embedding for surface anomaly detection**

# Introduction

- Key Contributions

- Anomaly Generation

- 기존의 Discriminative segmentation 방식이 합성 데이터에 over-fitting되는 문제를 극복함
    - 합성 데이터가 실제 데이터와 정확히 일치할 필요가 없도록 설계하여 generalization 성능을 향상시킴

- Reconstructive Sub-network

- 정상 데이터만을 학습하므로 이상 데이터 없이도 학습이 가능하며, 재구성된 데이터는 Discriminative sub-network에 이상 탐지의 근거를 제공함

- Discriminative Sub-network

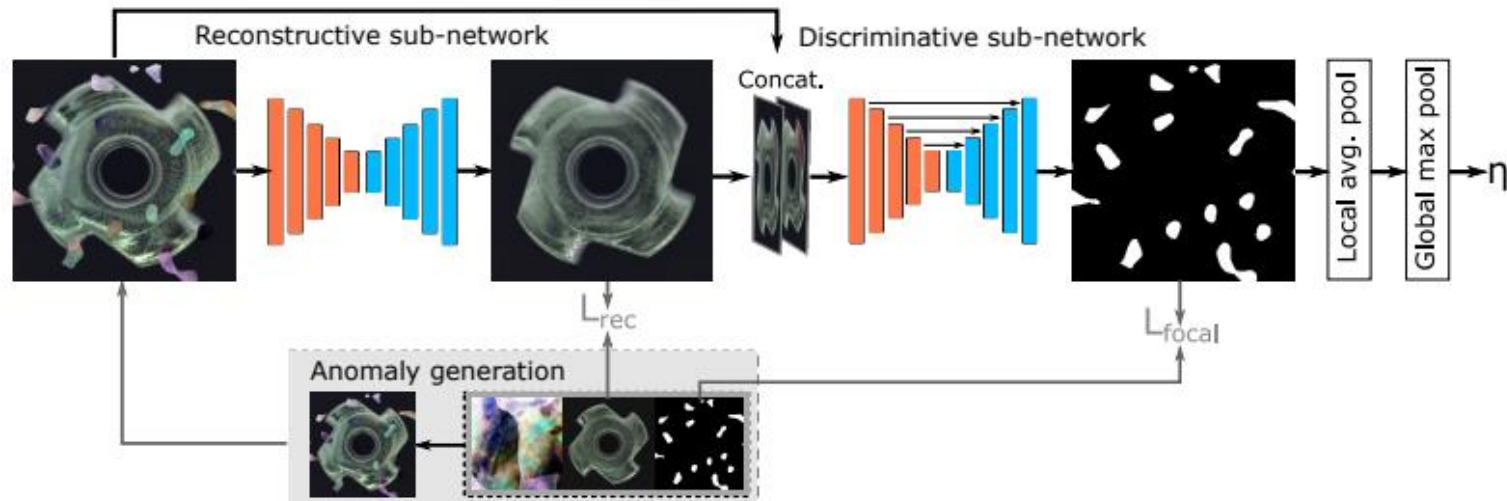
- 기존 방식에서 합성 이상 데이터에 over-fitting되는 문제를 극복하기 위해, DRAEM은 원본-재구성 간의 구조적 차이를 학습하도록 설계함
    - 이는 실제 이상 데이터에도 잘 일반화할 수 있는 모델을 제공함

- Surface Anomaly Localization & Detection

- 기존 방식은 이상 여부만을 탐지하거나 localization가 부정확한 경우가 많았지만, DRAEM은 픽셀 단위로 정확한 localization를 수행할 수 있음

# Method

- Overview
  - Anomaly generation
    - 합성 이상 데이터 생성하는 역할을 수행함
  - Reconstructive sub-network
    - 입력 이미지를 정상 이미지로 재구성하는 역할을 수행함
  - Discriminative sub-network
    - Joint Representation을 기반으로 이상 영역을 탐지하고 Segmentation Map을 생성하는 역할을 수행함

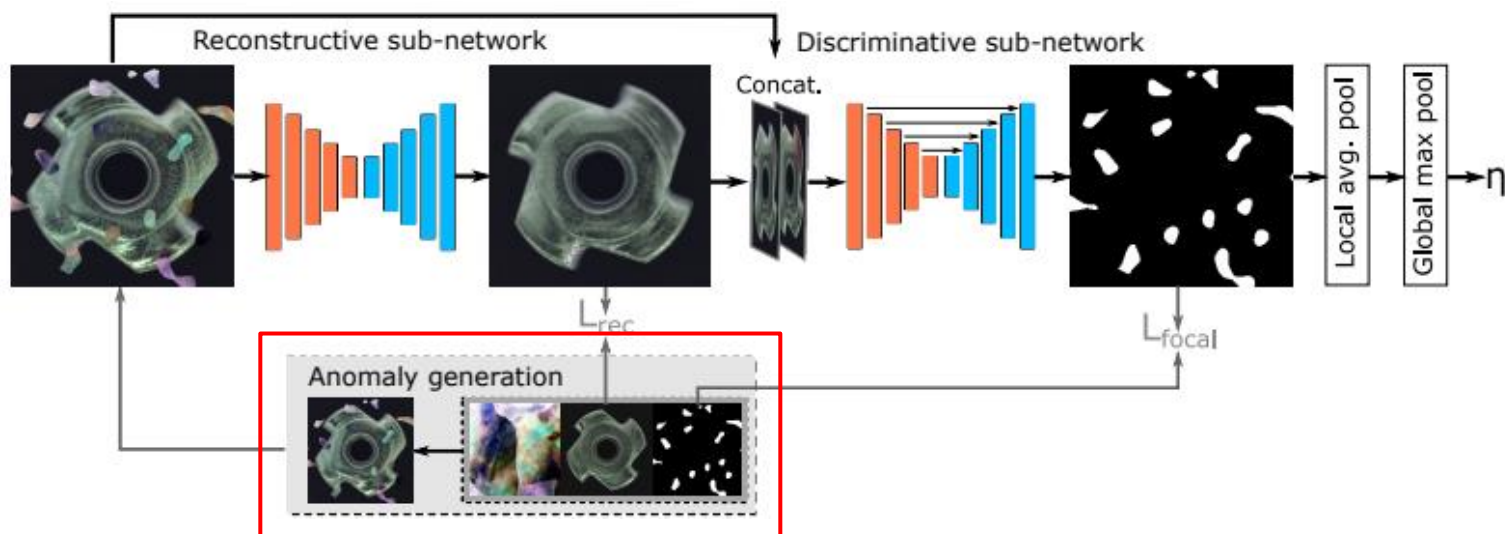


# Method

- Anomaly generation

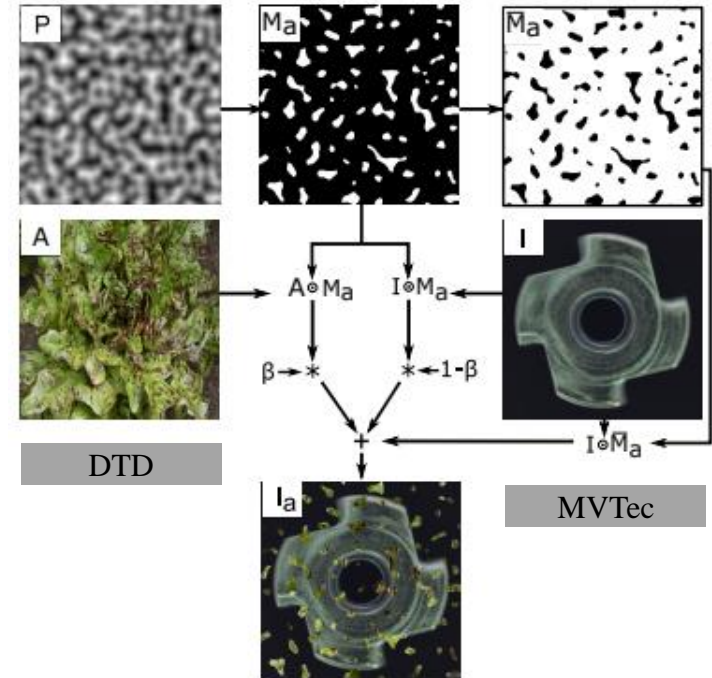
- Simulated anomaly generation

- DRAEM에서는 실제 이상치의 외형을 정확히 재현할 필요가 없음
    - 따라서, just-out-of-distribution appearance을 사용하여 이상 데이터를 생성함



# Method

- Anomaly generation
  - Simulated anomaly generation
    - $P$ : Perlin Noise generator로 noise 이미지 생성
      - ↳ Perlin Noise: 난수 sequence 생성
        - ✓ 다양한 패턴이 있는 texture를 표현할 때 이용 가능
      - ↳ 다양한 anomaly shape 포착 가능
    - $M_a$ : Anomaly map 이미지 masking
      - ↳ Threshold를 이용한 binarize
    - $\overline{M_a}$ :  $M_a$ 의 inverse
    - $A$ : Anomaly texture source 이미지 (DTD 데이터셋 사용)
      - ↳ RandAugment
        - ✓ {posterize, sharpness, solarize, equalize, brightness change, color change, auto-contrast}
        - ✓ 3개 랜덤하게 sampling하여 적용
      - ↳ Input 이미지 분포와 다른 데이터셋으로부터 sampling



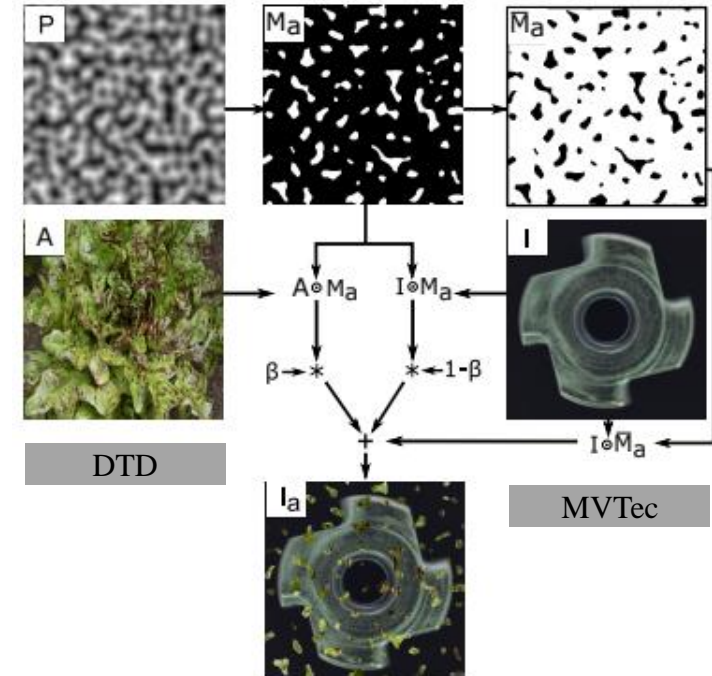
$$I_a = \overline{M_a} \odot I + (1 - \beta)(M_a \odot I) + \beta(M_a \odot A)$$

# Method

- Anomaly generation
  - Simulated anomaly generation

- $A$ : Augmented texture 이미지
    - ;;  $M_a$ 로 masking
    - ;;  $I$ 와 함께 blending
    - just-out-of distribution anomaly 생성

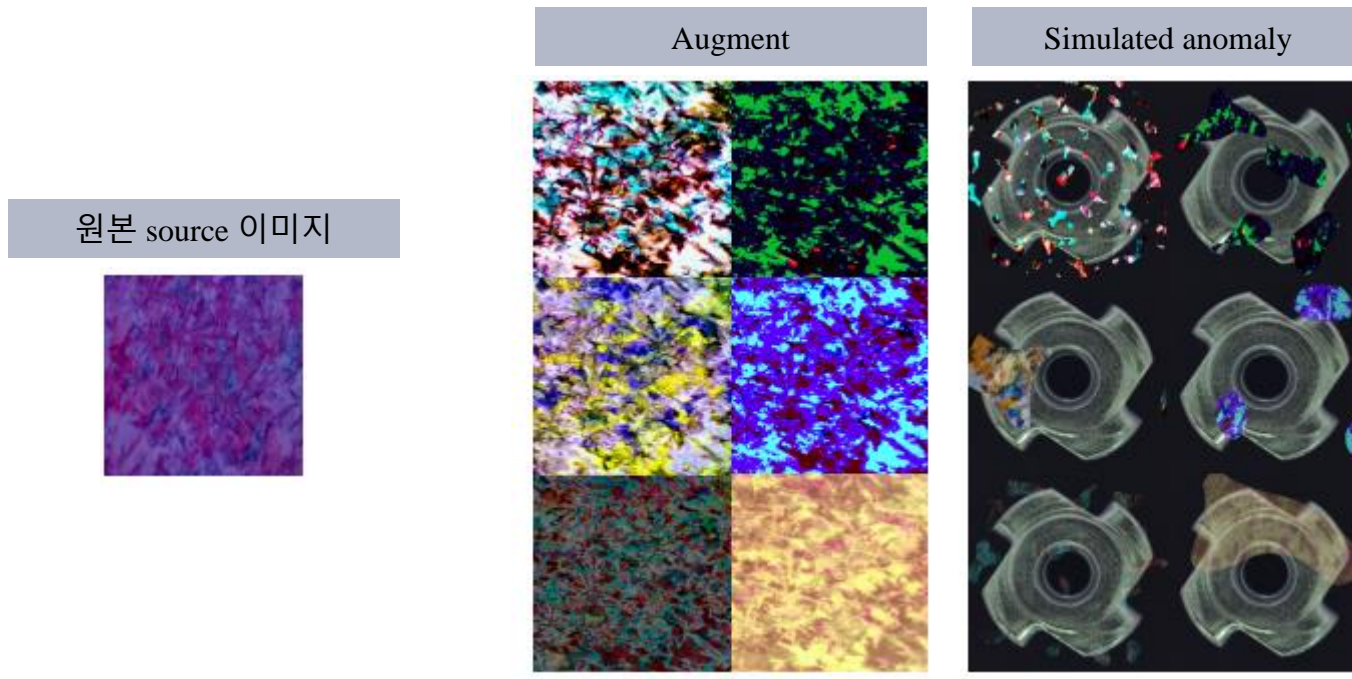
- $\beta$ : Opacity 파라미터
    - ;;  $\beta \in [0.1, 1.0]$ 에서 uniform하게 sampling
  - $I_a$ : Augmented training 이미지
    - ;; Simulated anomaly를 포함하는 augmented 이미지



$$I_a = \overline{M}_a \odot I + (1 - \beta)(M_a \odot I) + \beta(M_a \odot A)$$

# Method

- Anomaly generation
  - Simulated anomaly generation

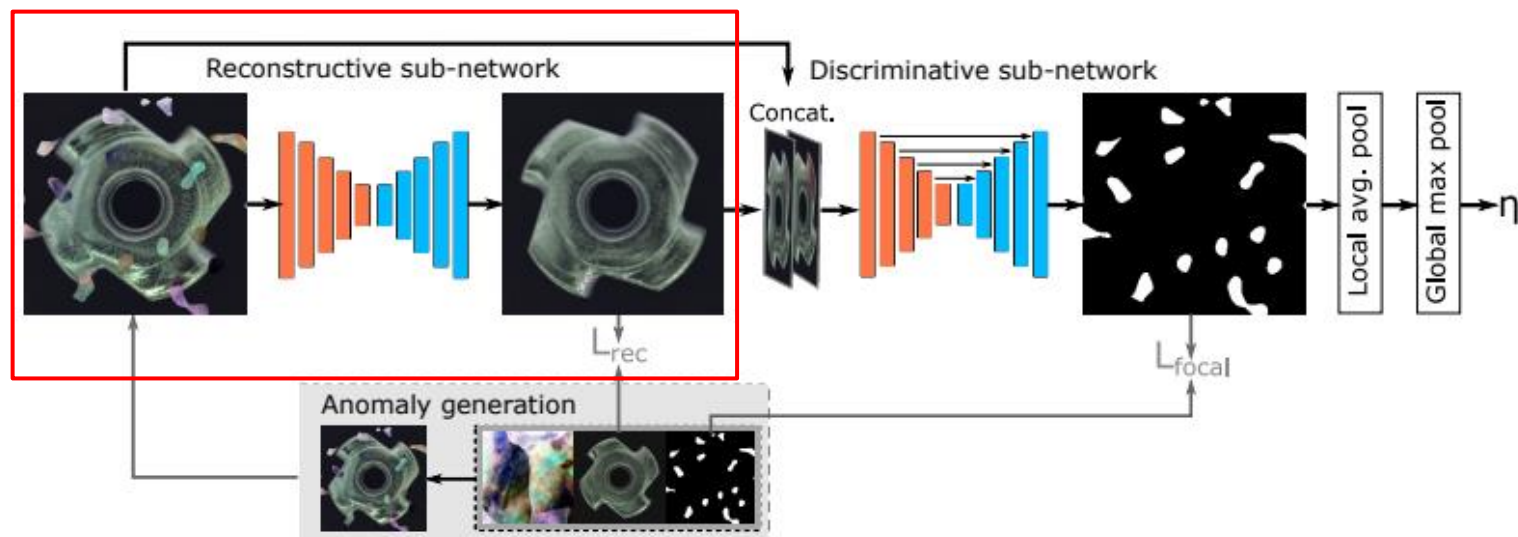


< Simulated anomaly generation 결과 >

# Method

- Reconstructive sub-network

- Simulator에 의해 얻어진 corrupted version  $I_a$ 를 원본 이미지  $I$ 로 재구성함
- Encoder-Decoder 구조 사용
- Input 이미지의 local pattern을 정상 sample의 분포에 가까운 pattern으로 변환하는 역할을 수행함



# Method

- Reconstructive sub-network
  - Loss function: L2 loss와 patch 기반의 SSIM loss를 결합하여 사용함

$$L_{rec}(I, I_r) = \lambda L_{SSIM}(I, I_r) + l_2(I, I_r)$$

- L2 loss ( $l_2$ )

;; 각 픽셀 값의 차이를 제곱하여 평균을 구하는 방식

;; 즉, 원본 이미지와 복원된 이미지가 완전히 똑같다면 L2 loss는 0이 됨

- SSIM loss ( $L_{SSIM}$ )

;; 이미지의 구조적 특성(밝기, 대비, 구조/패턴)을 비교하는 방식

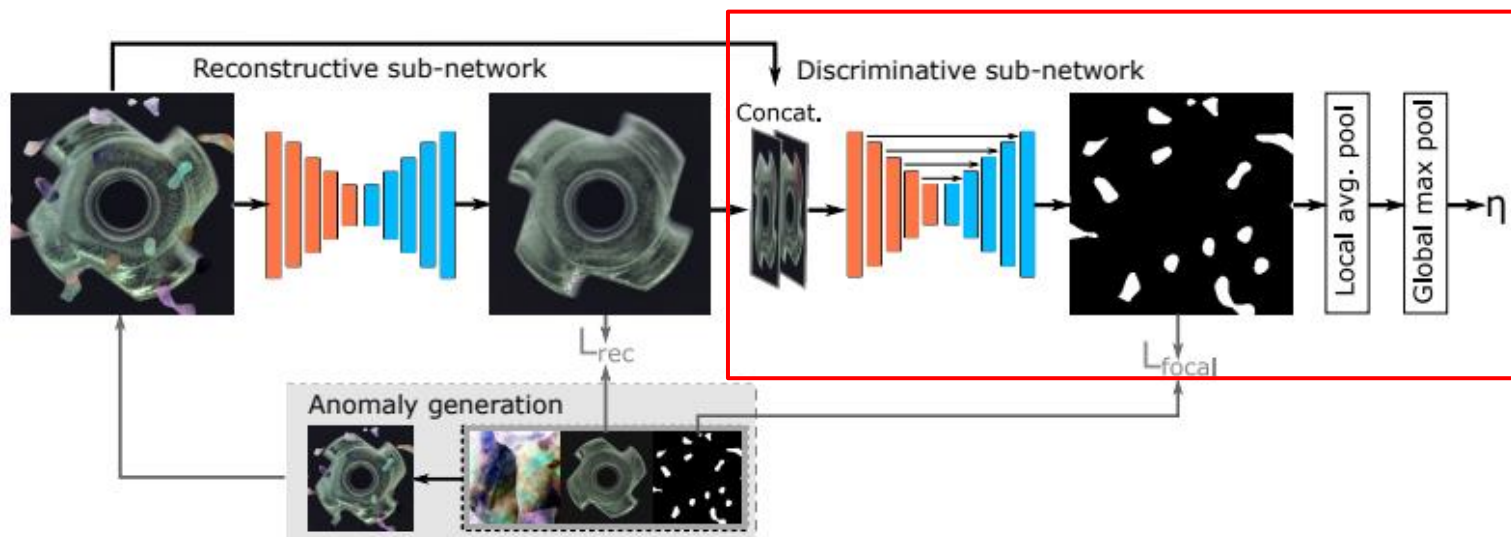
;; 즉, 단순히 픽셀 값의 차이를 비교하는 것이 아닌 전체적인 구조적 패턴의 유사도를 평가함

-  $\lambda$ : Loss balancing hyper-parameter

- 위의 2가지 loss를 함께 사용하면, 세부적인 차이와 전체적인 구조적 차이를 모두 고려 가능

# Method

- Discriminative sub-network
  - Joint reconstruction anomaly embedding 학습함
  - U-Net과 유사한 구조 사용
  - Anomaly segmentation map 생성하는 역할을 수행함



# Method

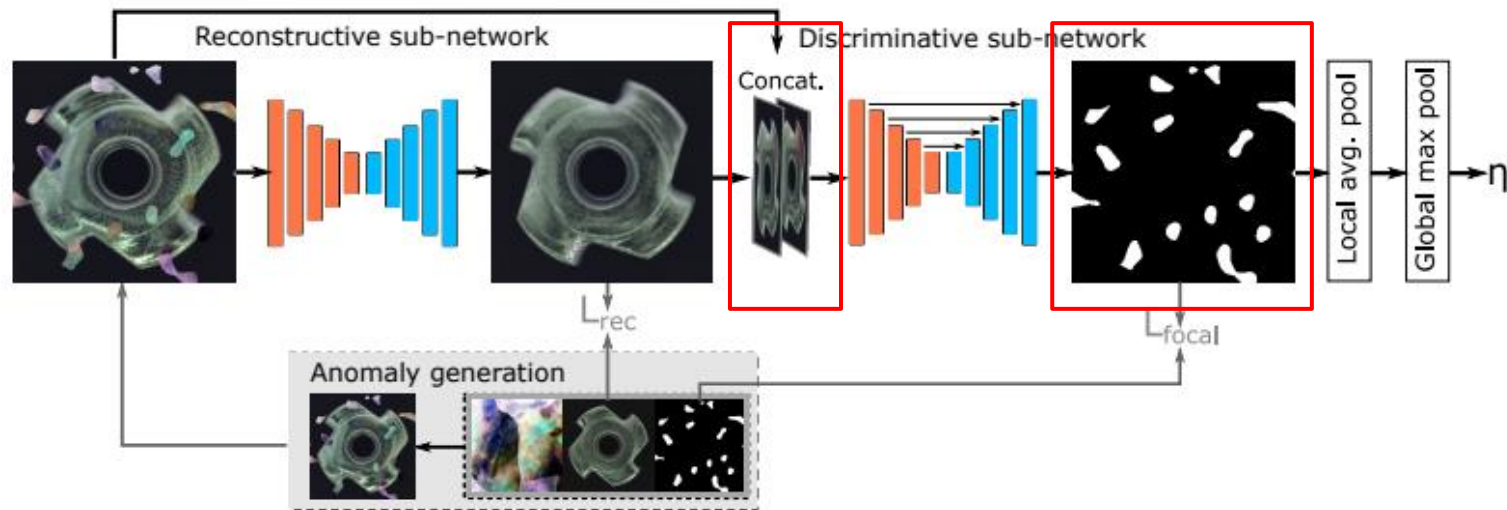
- Discriminative sub-network

- Input:  $I_c = I + I_r$

- Reconstructive sub-network의 출력인  $I_r$  + 원본 이미지  $I$
    - Channel-wise concatenation

- Output:  $M_o$

- Pixel-level anomaly detection mask (anomaly score map)
    - 해당 mask는  $I$ 와 동일한 크기



# Method

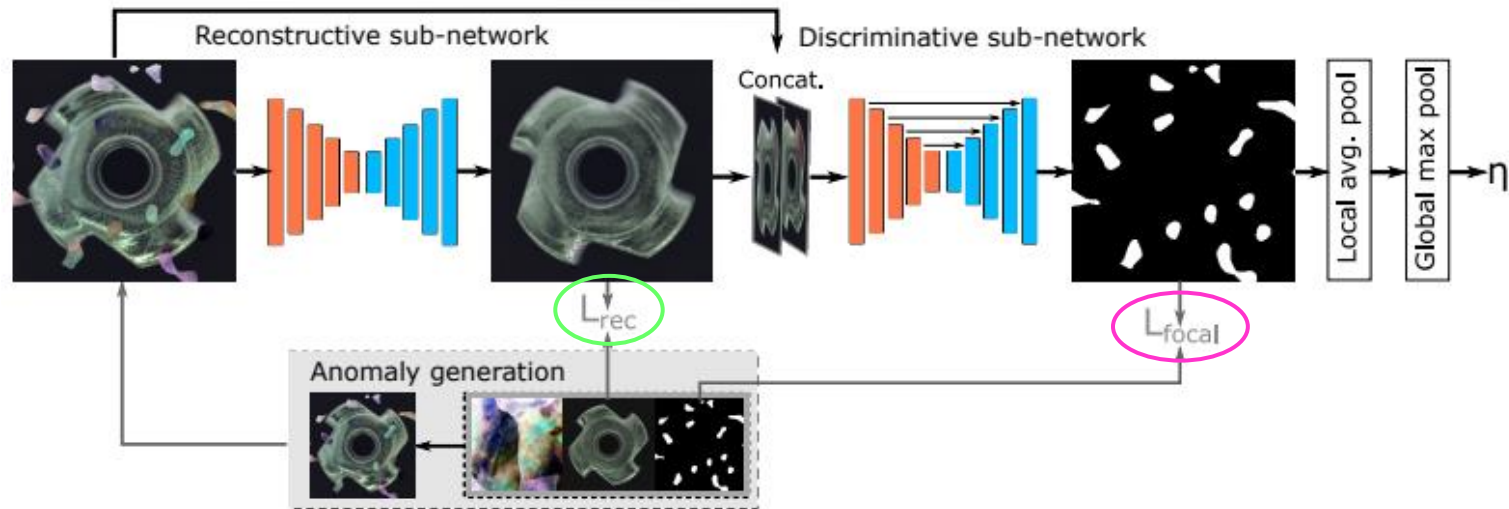
- Train

- Total loss: Reconstruction loss와 segmentation loss를 결합하여 사용함

$$L(I, I_r, M_a, M) = L_{rec}(I, I_r) + L_{seg}(M_a, M)$$

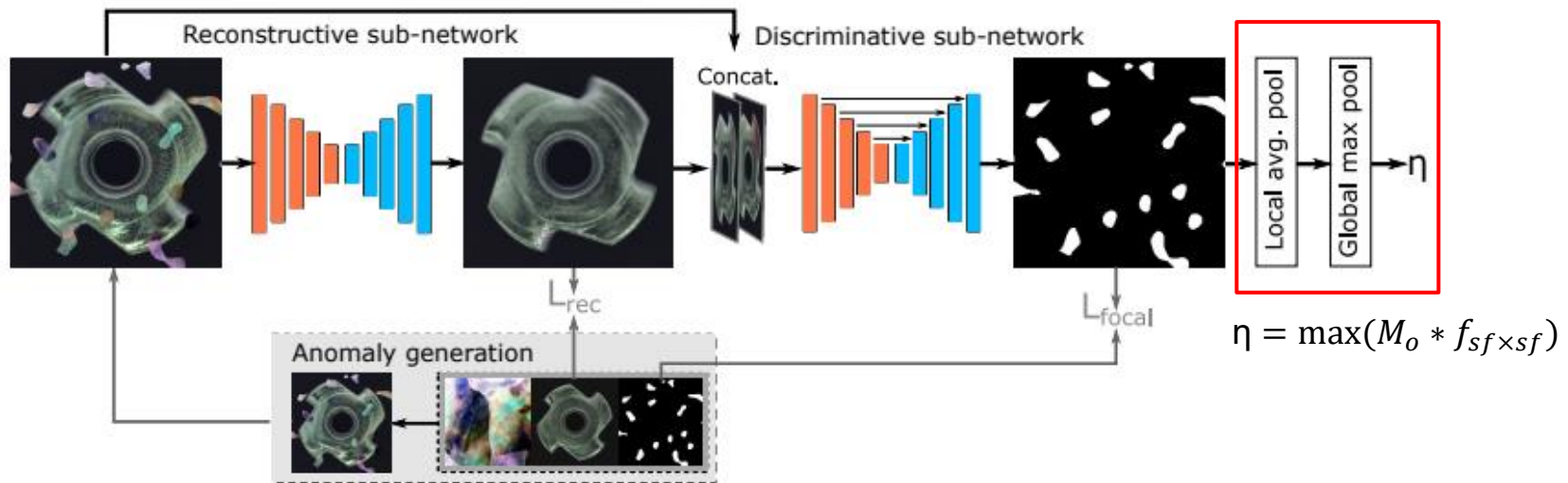
Focal loss

- $M_a$ : Anomaly segmentation mask (anomaly binary mask)
- $M$ : Ground Truth anomaly segmentation mask



# Method

- Surface anomaly localization & detection
  - Discriminative sub-network의 Output:  $M_o$ 
    - Pixel-level anomaly detection mask (anomaly score map)
    - Image-level anomaly score 예측
  - $M_o$  smoothing: Local average pooling, Global max pooling 적용
  - 최종 image-level anomaly score ( $\eta$ ) 산출



# Method

- 기존의 한계 해결

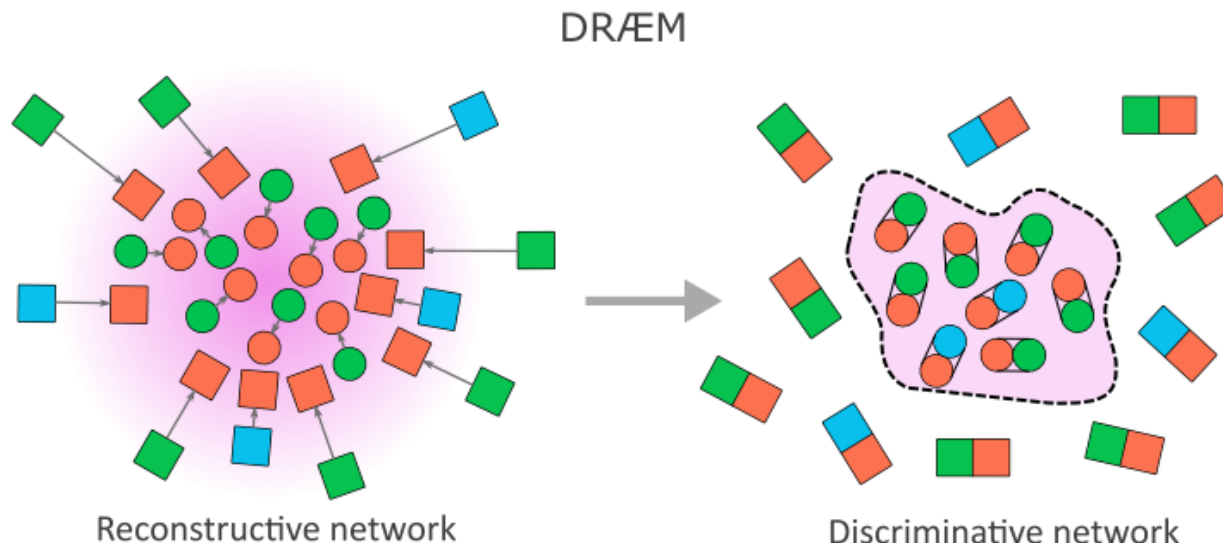
- 기존의 한계

- Auto-encoder: Anomaly에 over-generalize

- Discriminative segmentation: Synthetic anomaly에 over-fit이 되어, 실제 data에 generalize하지 못함

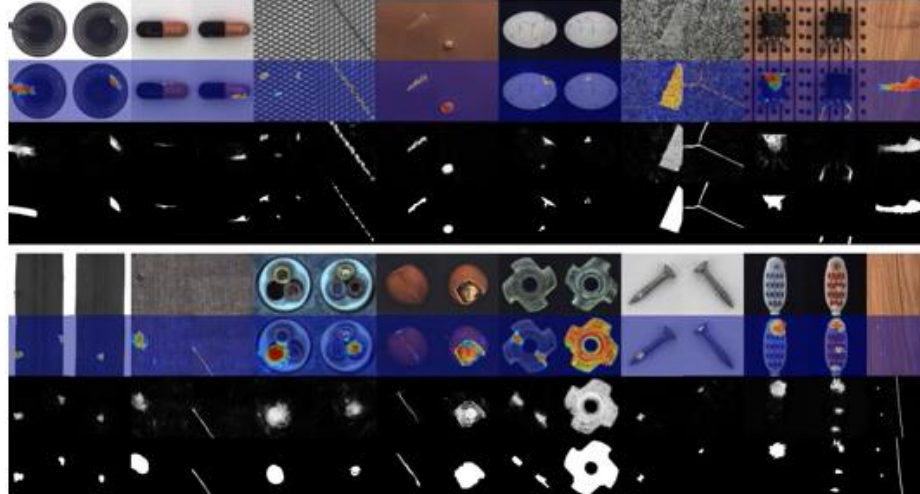
- DRAEM의 해결 방안

- Reconstructive sub-network와 Discriminative sub-network를 결합하여, Joint Representation을 학습하는 접근법을 제안함



# Experiments

- Dataset
  - MVTec
    - Benchmark dataset
    - 15개의 object class를 포함함
  - DTD (Describable Textures Dataset)
    - Anomaly source dataset
    - Texture database: 5640장의 이미지를 포함함
    - 47개의 category로 나누어져 있음



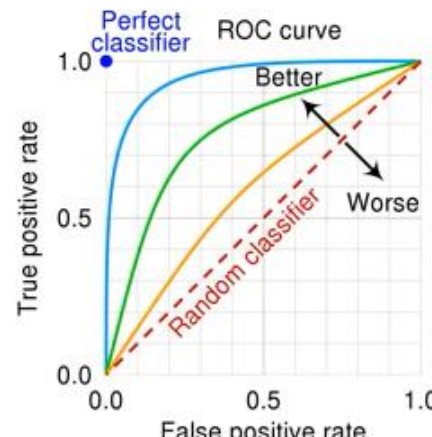
< MVTec >



< DTD >

# Experiments

- Metric
  - AUROC
    - Anomaly detection
      - ;;,;; Image-level
    - Anomaly localization
      - ;;,;; Pixel-level
  - Average Precision (AP)
    - Class 불균형이 심한 경우에 사용하기 적절한 평가 지표
      - ;;,;; Class 불균형이 심한 surface anomaly detection에 적절함



<ROC Curve >

# Experiments

- Surface anomaly detection

- 15개의 MVTec 데이터셋 클래스 중 9개에서, 다른 모델보다 높은 성능을 보임

Class	[1]	[26]	[4]	[31]	[20]	[11]	DRÆM
bottle	79.4	98.3	99.0	99.9	<b>100</b>	99.9	99.2
capsule	72.1	68.7	86.1	88.4	92.3	91.3	<b>98.5</b>
grid	74.3	86.7	81.0	99.6	92.9	96.7	<b>99.9</b>
leather	80.8	94.4	88.2	<b>100</b>	<b>100</b>	<b>100</b>	<b>100</b>
pill	67.1	76.8	87.9	83.8	83.4	93.3	<b>98.9</b>
tile	72.0	96.1	99.1	98.7	97.4	98.1	<b>99.6</b>
transistor	80.8	79.4	81.8	90.9	95.9	<b>97.4</b>	93.1
zipper	74.4	78.1	91.9	98.1	97.9	90.3	<b>100</b>
cable	71.1	66.5	86.2	81.9	<b>94.0</b>	92.7	91.8
carpet	82.1	90.3	91.6	84.2	95.5	<b>99.8</b>	97.0
hazelnut	87.4	100	93.1	83.3	98.7	92.0	<b>100.0</b>
metal nut	69.4	81.5	82.0	88.5	93.1	<b>98.7</b>	<b>98.7</b>
screw	<b>100</b>	<b>100</b>	54.9	84.5	81.2	85.8	93.9
toothbrush	70.0	95.0	95.3	<b>100</b>	95.8	96.1	<b>100</b>
wood	92.0	97.9	97.7	93.0	97.6	<b>99.2</b>	99.1
avg	78.2	87.3	87.7	91.7	94.4	95.5	<b>98.0</b>

- [1]: GANomaly
- [26]: DAGAN
- [4]: Student-Teacher AD
- [31]: RIAD
- [20]: Gaussian AD
- [11]: Padim

# Experiments

- Anomaly Localization
  - 15개의 MVTec 데이터셋 클래스 중 11개에서, 다른 모델보다 높은 AP score을 보임

Class	US[4]	RIAD[31]	PaDim[11]	DRÆM
bottle	97.8 / 74.2	98.4 / 76.4	98.2 / 77.3	<b>99.1 / 86.5</b>
capsule	96.8 / 25.9	92.8 / 38.2	<b>98.6 / 46.7</b>	94.3 / <b>49.4</b>
grid	89.9 / 10.1	98.8 / 36.4	97.1 / 35.7	<b>99.7 / 65.7</b>
leather	97.8 / 40.9	99.4 / 49.1	<b>99.0 / 53.5</b>	98.6 / <b>75.3</b>
pill	96.5 / <b>62.0</b>	95.7 / 51.6	95.7 / 61.2	<b>97.6 / 48.5</b>
tile	92.5 / 65.3	89.1 / 52.6	94.1 / 52.4	<b>99.2 / 92.3</b>
transistor	73.7 / 27.1	87.7 / 39.2	<b>97.6 / 72.0</b>	90.9 / 50.7
zipper	95.6 / 36.1	97.8 / 63.4	98.4 / 58.2	<b>98.8 / 81.5</b>
cable	91.9 / 48.2	84.2 / 24.4	<b>96.7 / 45.4</b>	94.7 / <b>52.4</b>
carpet	93.5 / 52.2	96.3 / <b>61.4</b>	<b>99.0 / 60.7</b>	95.5 / 53.5
hazelnut	98.2 / 57.8	96.1 / 33.8	98.1 / 61.1	<b>99.7 / 92.9</b>
metal nut	97.2 / 83.5	92.5 / 64.3	97.3 / 77.4	<b>99.5 / 96.3</b>
screw	97.4 / 7.8	<b>98.8 / 43.9</b>	98.4 / 21.7	<b>97.6 / 58.2</b>
toothbrush	97.9 / 37.7	<b>98.9 / 50.6</b>	98.8 / <b>54.7</b>	98.1 / 44.7
wood	92.1 / 53.3	85.8 / 38.2	94.1 / 46.3	<b>96.4 / 77.7</b>
avg	93.9 / 45.5	94.2 / 48.2	<b>97.4 / 55.0</b>	97.3 / <b>68.4</b>

AUROC / AP

# Conclusions

- DRAEM: Discriminatively trained reconstruction anomaly embedding model
  - Anomaly 이미지와 anomaly-free reconstruction 이미지의 특징을 함께 학습하여, 효과적인 joint representation을 생성함
    - 이를 통해, 이상 탐지 성능을 향상시킴
  - 간단하고 general한 anomaly simulation을 사용하여 모델을 학습함
    - 이를 통해, 다양한 이상 패턴을 탐지할 수 있음

# 감사합니다!